

## **Strukturmechanische Berechnungen am Sonnenteleskop ATST (Advanced Technology Solar Telescope)**

Dr.-Ing. Wolfgang Feickert, Dipl.-Ing. (FH) Armin Sitzmann

Ingenieurbüro Huß & Feickert, Liederbach, Deutschland

Dr.-Ing. Oliver Dreyer, Dr.-Ing. Hans Jürgen Kärcher

MT Mechatronics GmbH, Mainz, Deutschland

# Sonnenteleskop ATST

## 1. Das amerikanische Sonnenteleskop ATST

- ATST (Advanced Technology Solar Telescope)
- Standort: Maui, Haleakalā, Hawaii
- Inbetriebnahme voraussichtlich 2018
- Größte Sonnenteleskop weltweit  
Spiegeldurchmesser 4m
- Projektion durch AURA (Association of Universities for Research in Astronomy)



*Renders courtesy of Tom Kekona,  
K.C. Environmental, Inc., National Solar Observatory*

## 1. Das amerikanische Sonnenteleskop ATST

- Standort: Maui, Haleakalā, Hawaii
- Neue wissenschaftliche Erkenntnisse zu Fragestellungen wie:

Wie entstehen kosmische Magnetfelder und wie werden sie wieder abgebaut?

Welche Mechanismen stehen hinter den periodischen Veränderungen der Sonnenaktivität?



*Renders courtesy of Tom Kekona,  
K.C. Environmental, Inc., National Solar Observatory*

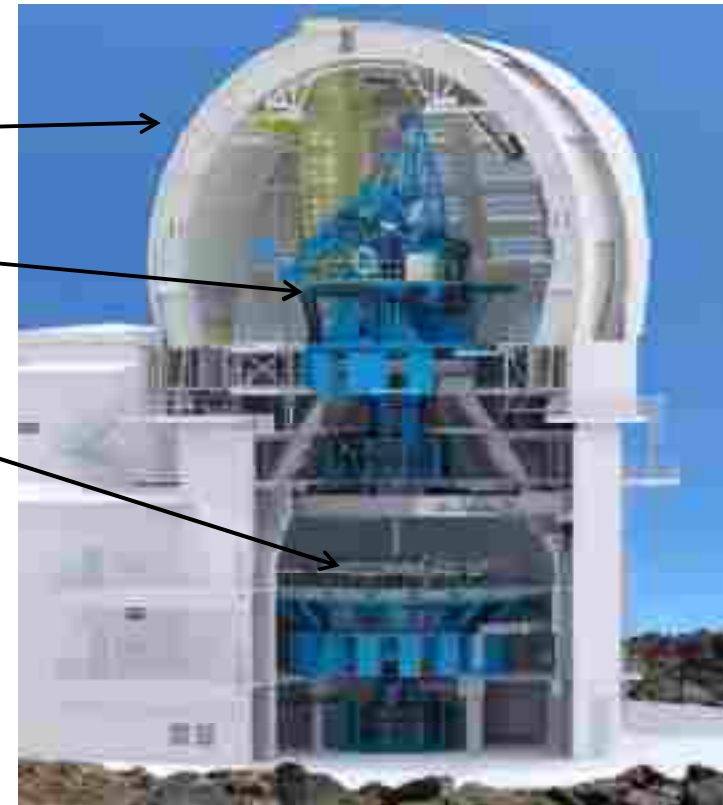
## 1. Das amerikanische Sonnenteleskop ATST

### Hauptstrukturen

Enclosure

Telescope Mount Structure

Coudé Rotator Structure



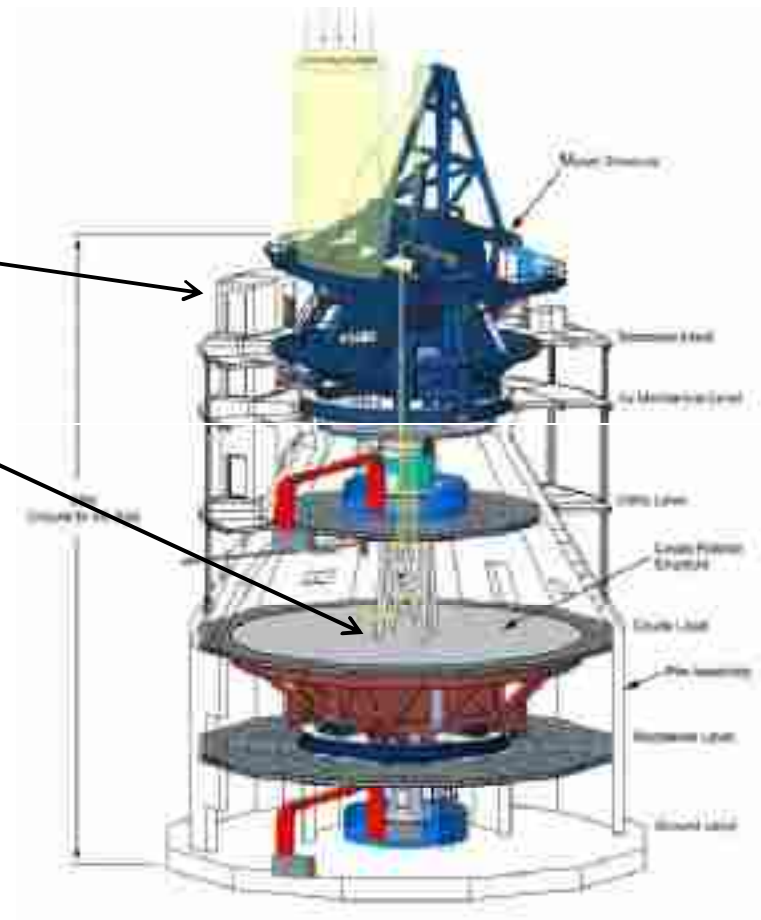
*Renders courtesy of Tom Kekona,  
K.C. Environmental, Inc., National Solar Observatory*

## 1. Das amerikanische Sonnenteleskop ATST

### Telescope Mount Assembly

Telescope Mount Structure

Coudé Rotator Structure



*Telescope Mount Assembly  
courtesy of National Solar Observatory*

## 2. Sonnenteleskope

- Sonnenteleskop GREGOR  
Kiepenheuer-Institut für Sonnenphysik, dem Astrophysikalischen Institut Potsdam, dem Institut für Astrophysik Göttingen, den Max-Planck-Institut für Sonnensystemforschung und weiteren Partnern
- Eines der größten und leistungsfähigsten Sonnenteleskope
- Spiegeldurchmesser 1,5m



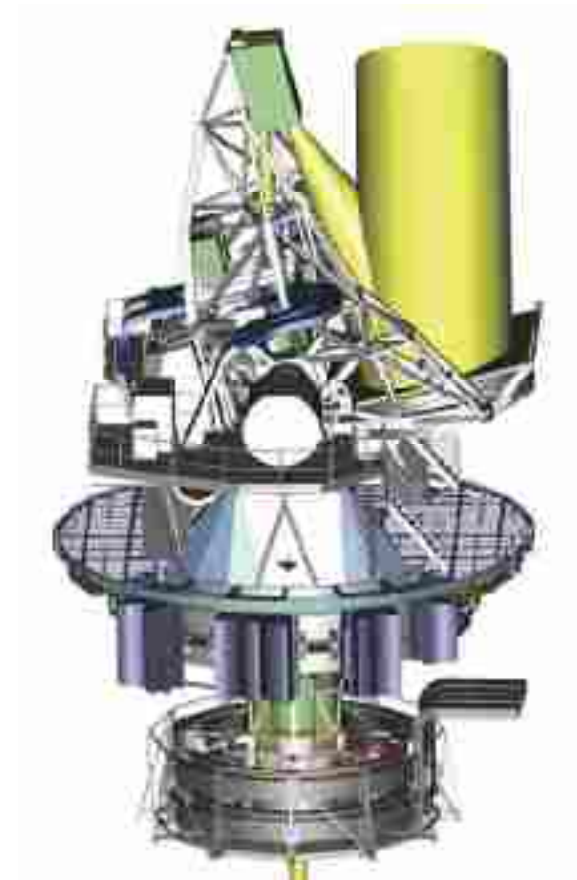
*Freigegeben von KIS Kiepenheuer-Institut für Sonnenphysik*



*Renders courtesy of Tom Kekona,  
K.C. Environmental, Inc., National Solar Observatory*

## 2. Sonnenteleskope

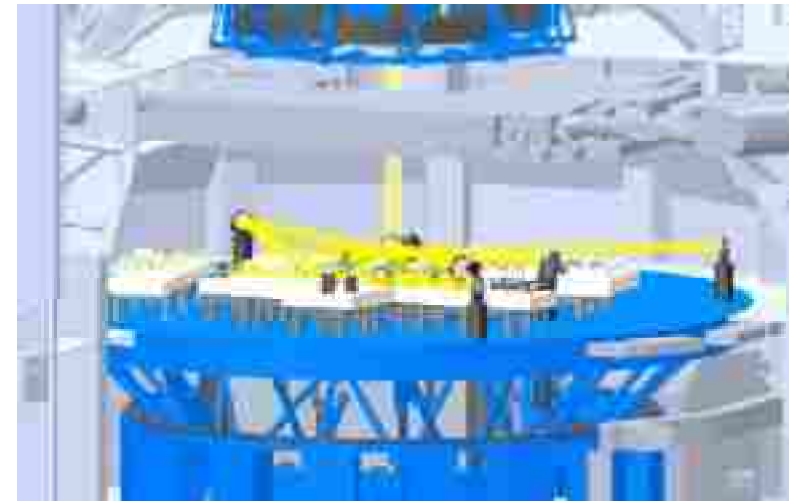
- Direkter Blick in Sonne → Hitzeproblematik  
Aufheizung des Teleskopes  
Flimmern der Luft im Strahlengang
- Früher: Führung des Strahlenganges durch  
Vakuurröhren → Beschränkung der Apertur  
auf 1m
- Heute: Änderung des Strahlenganges in  
“Gregory“ Optik → Ausblendung eines großen  
Teils des Sonnenlichtes im Primärfocus
- Größere Spiegelaperturen möglich  
GREGOR, Teneriffa 1,5m  
INDIEN, 2,5m in Planung  
ATST, Hawaii 4,0m  
EST, Europa 4,0m in Planung



*Telescope Mount Assembly  
courtesy of National Solar Observatory*

## 2. Sonnenteleskope

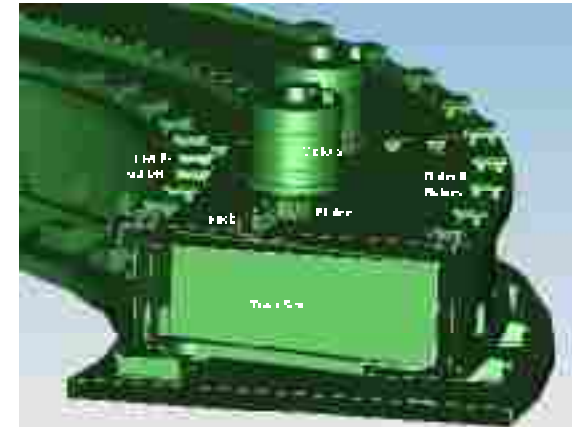
- Extremer Platzbedarf für Instrumente
- Interferometrische Auswertesysteme im Systembrennpunkt unterhalb des Teleskops
- Abmessungen mehrere Meter (5m), Gewicht mehrere Tonnen (6t)
- Mitbewegen der Instrumente, um die Bildrotation beim Nachregeln der Erdbewegung zu kompensieren



*Coudé Rotator Structure  
courtesy of National Solar Observatory*

## 3. Besonderheiten des ATST

- Optik: Spiegelgröße 4m
- Strukturgestaltung und die Antriebs- und Lagersysteme für die Azimuth-Achse ähnlich Bauart von Portalfräsmaschinen von Projektpartner Ingersoll
- Lagerung auf gekrümmten Linearführungen
- Weniger Energieverbrauch, Wartung, Schutzvorkehrungen



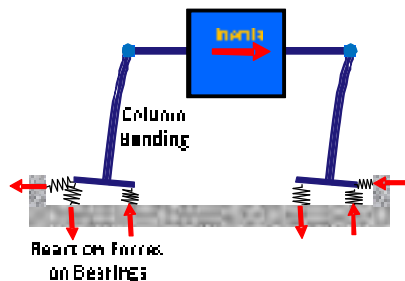
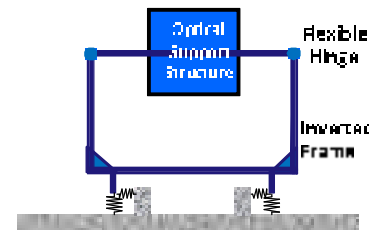
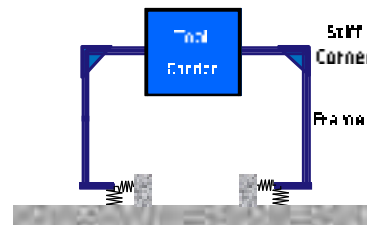
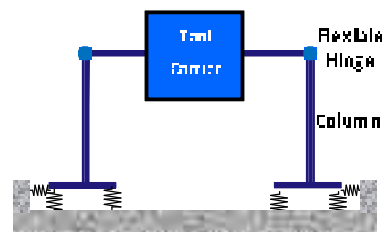
*Antriebs- und Lagereinheit um Azimuth-Achse*

## 3. Besonderheiten des ATST

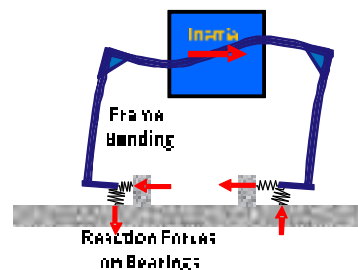
### Lagerkonzepte und elastische Verhalten



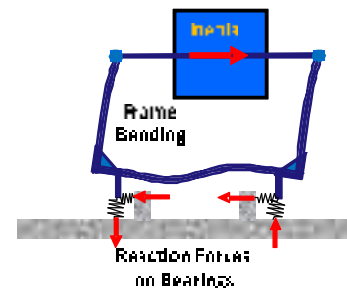
Tooling machine courtesy of Ingersoll



Movable cross beam



Fixed cross beam



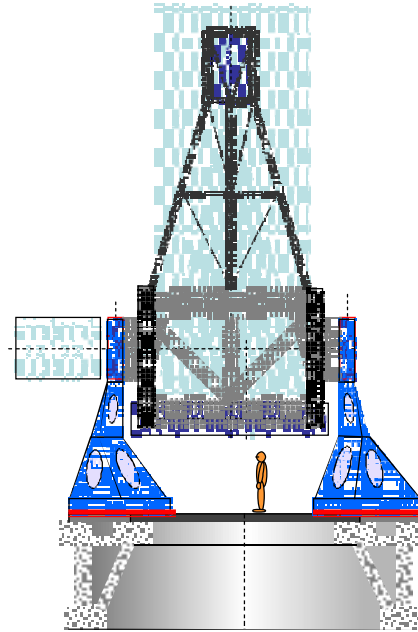
ATST reference design

## 4. ATST Tragstruktur

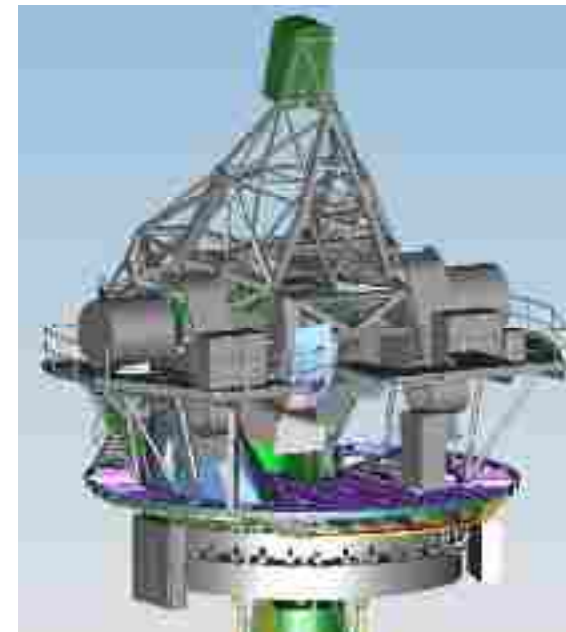
### Strukturentwurf



Reference design



“Gantry”



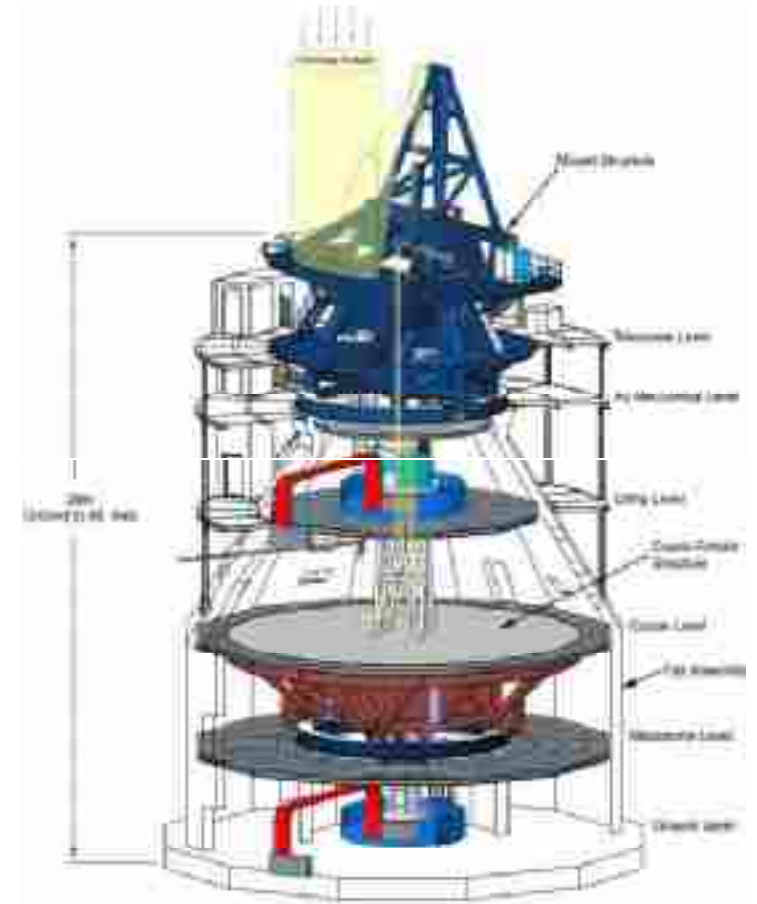
CAD model actual design

## 4. ATST Tragstruktur

- Definierte Bewegungsbahn um Altitude und Azimuth-Achse
- Optische Anforderungen bezüglich Bildbewegung in der Fokussierebene
- Pointingfehler aus quasistatischen Verformungen aus Achsen- und Lagerfehlern sowie aus Strukturdeformationen
- Jitterfehler beim Bewegen und Regeln der Tragstruktur beim Verfolgen der Sonne und Ausregeln von z.B. Winderregung

→

Anforderungen an statischen und dynamischen Steifigkeiten der Tragstrukturen

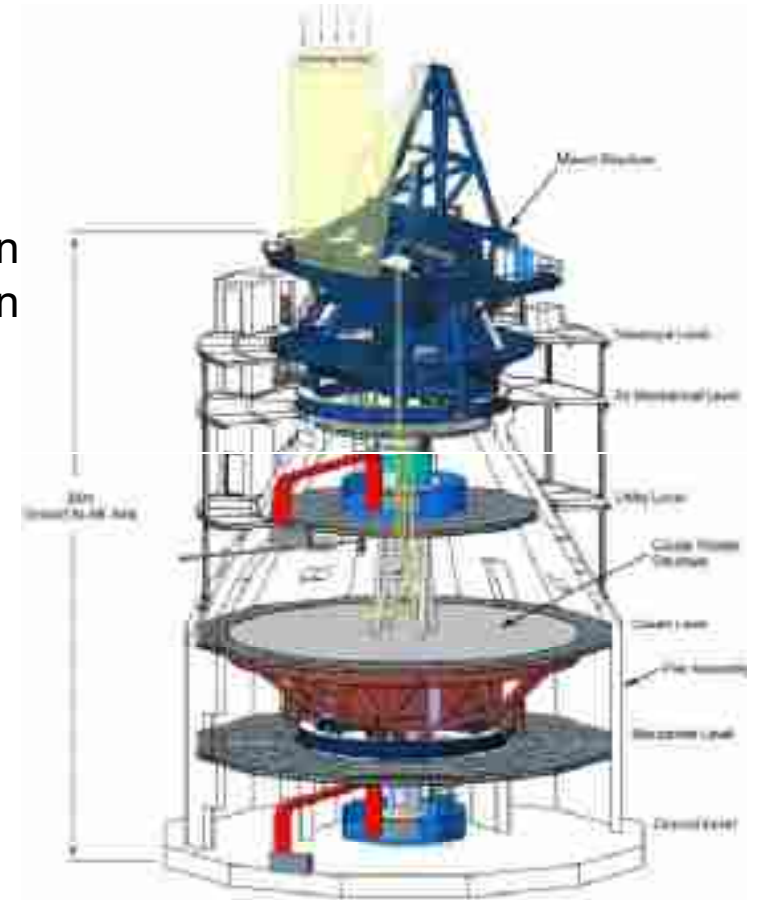


Telescope Mount Assembly  
courtesy of National Solar Observatory

## 4. ATST Tragstruktur

### Anforderungen:

- Größe der niedrigsten Eigenfrequenz
- Verformungen an Spiegelanbindungspunkten unter Eigengewicht, verschiedene Stellungen
- Verformungen an Instrumententischen unter Eigengewicht
- Verformungen unter Windlasten
- Verformungen unter Temperaturlasten
- Verformungen durch Bedienpersonal
- Nachweis Erdbebenlasten
- Maximale Beschleunigungen

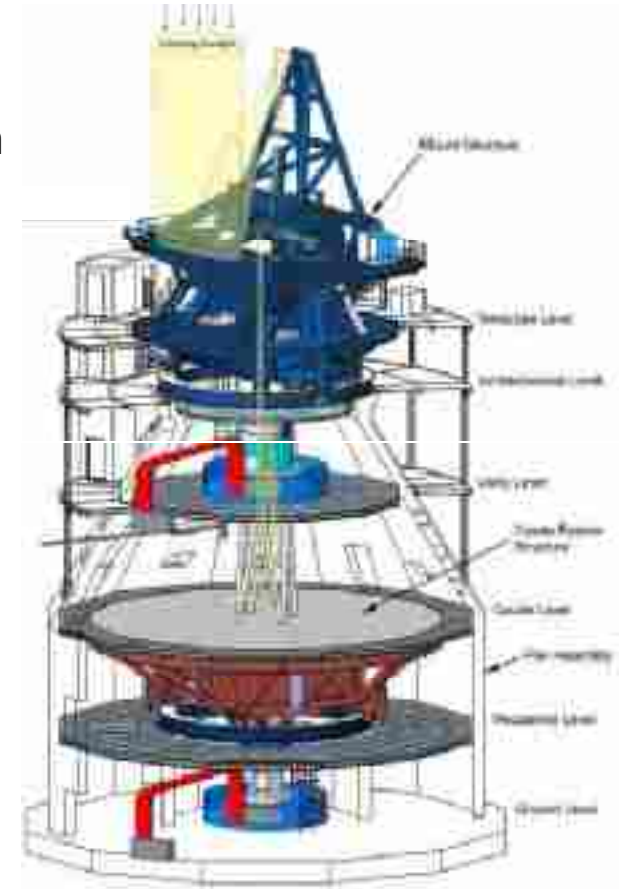


Telescope Mount Assembly  
courtesy of National Solar Observatory

## 4. ATST Tragstruktur

### Lastfälle:

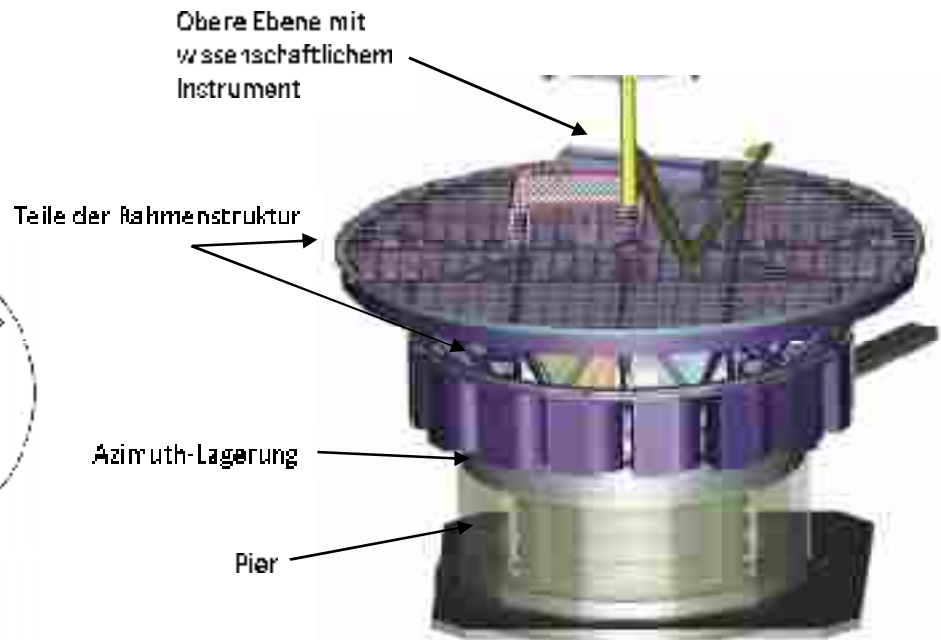
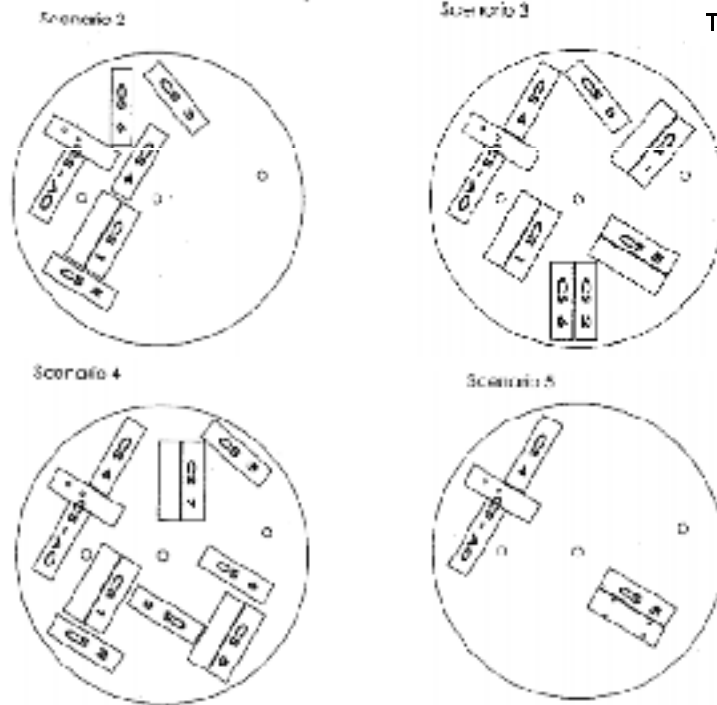
- Modalanalyse für verschiedene Teleskopstellungen
- Eigengewicht für verschiedene Teleskopstellungen
- Lasten für verschiedene Aufstellungsszenarien
- Verformungen unter Windlasten
- Optimierung des Gewichtes
- Verformungen unter Temperaturalasten
- Nachweis Erdbebenlasten
- Nachweis wechselnder Personenlasten
- Reibmomente auf Laufschiene
- Auswirkung von Nivellierungsfehlern
- Lokalen Temperaturerhöhungen durch den Antrieb
- Auswirkung von variierenden Lagersteifigkeiten
- Falltest Werkzeug auf Spiegelabdeckung



*Telescope Mount Assembly  
courtesy of National Solar Observatory*

## 5. Coudé Rotator Structure

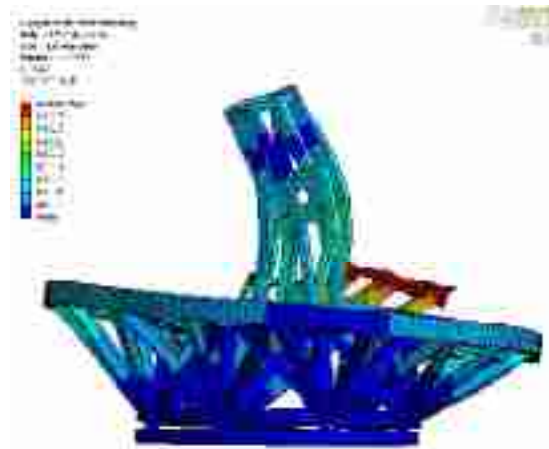
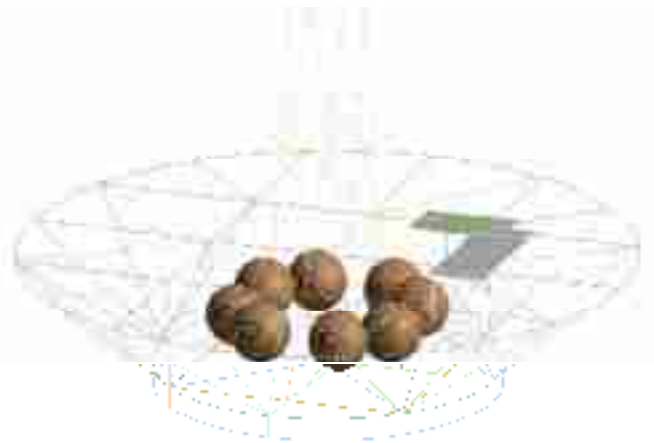
- Lagerung und Bewegung der optischen Spiegel M7-M9
- Lagerung und Bewegung der wissenschaftlichen Instrumente



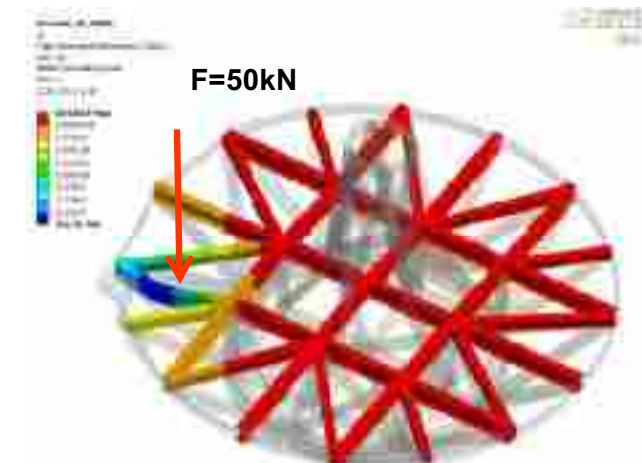
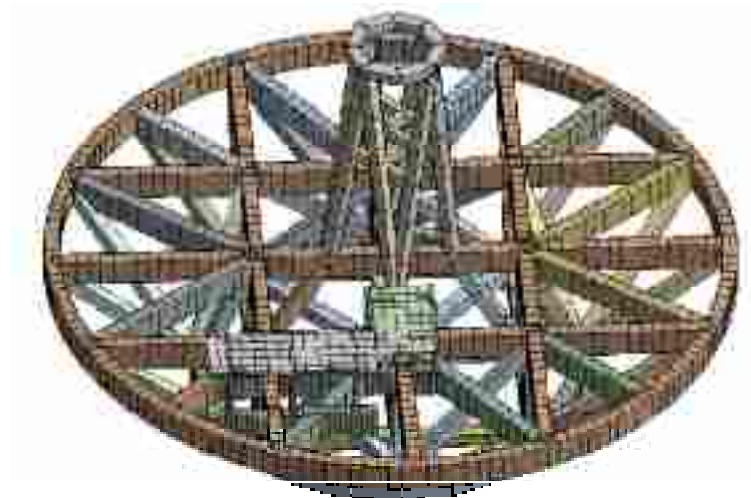
*Coudé Rotator Structure  
courtesy of National Solar Observatory*

## 5. Coudé Rotator Structure

### Entwicklung Struktur und FE-Modell



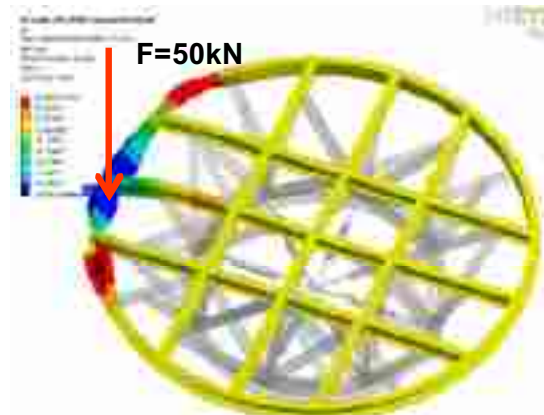
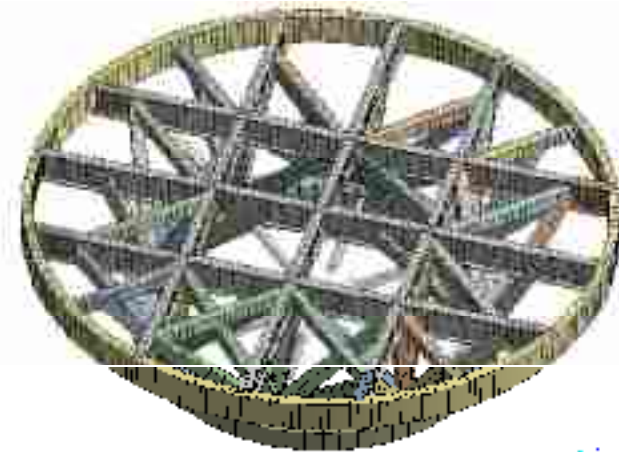
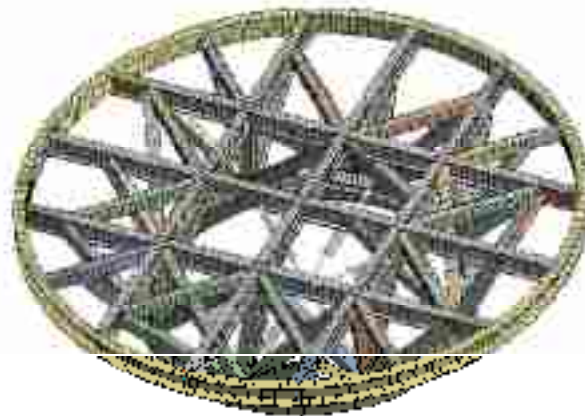
Modalanalyse



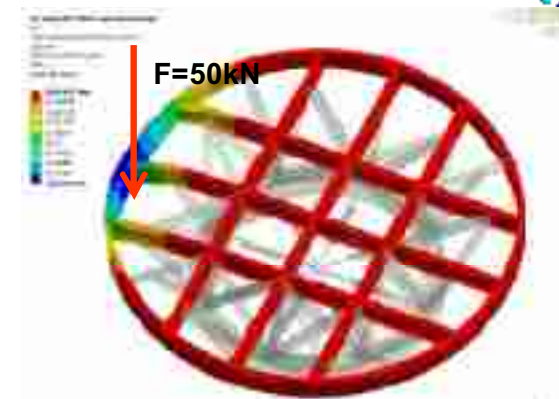
Instrumentengewicht  $|u_z|_{\max} = 179 \mu\text{m}$

## 5. Coudé Rotator Structure

### Entwicklung Struktur und FE-Modell



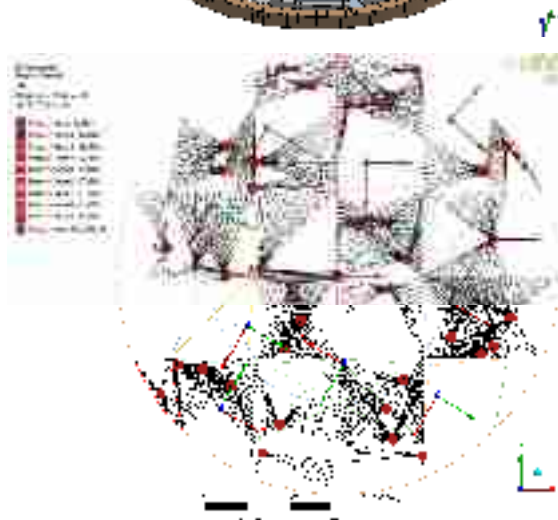
Instrumentengewicht  $|u_z|_{\max} = 570 \mu\text{m}$



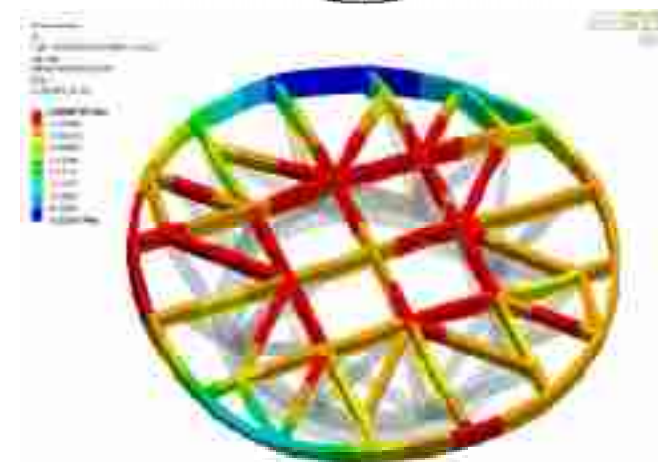
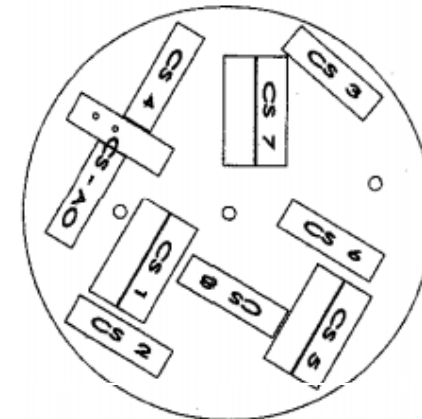
Instrumentengewicht  $|u_z|_{\max} = 247 \mu\text{m}$

## 5. Coudé Rotator Structure

### Entwicklung Struktur und FE-Modell



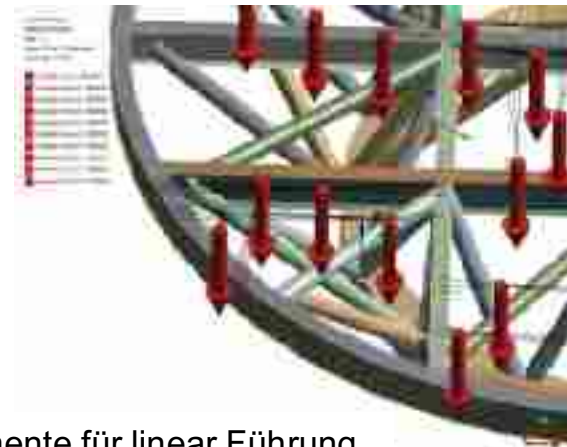
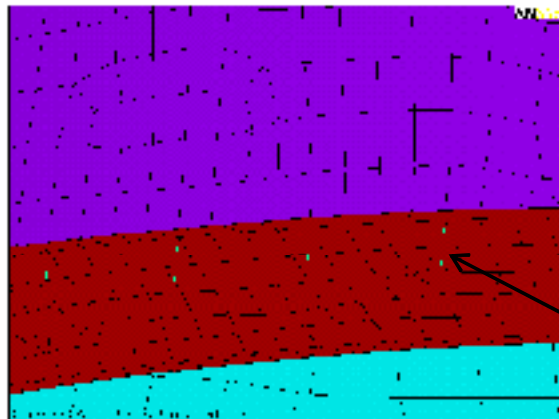
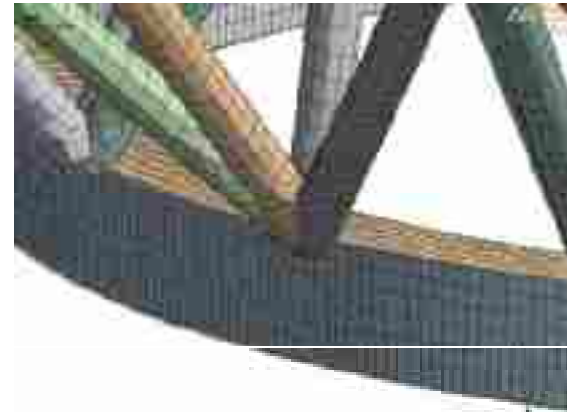
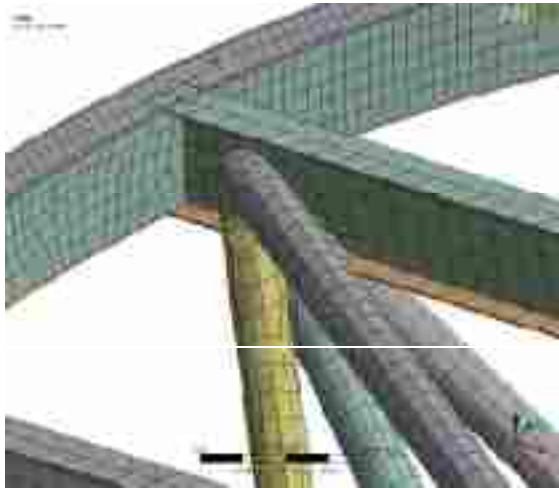
Scenario 4



Instrumentengewicht  $|u_z|_{\max} = 255 \mu\text{m}$

## 5. Coudé Rotator Structure

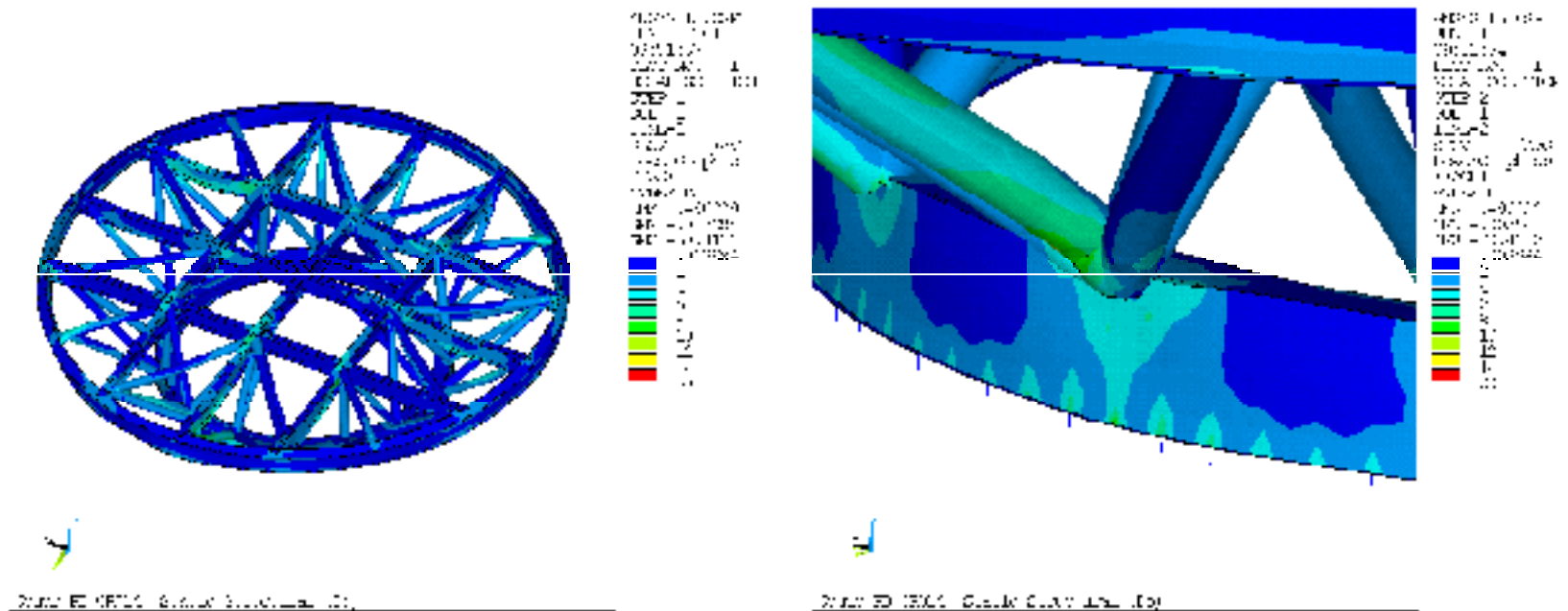
### Entwicklung Struktur und FE-Modell



Federelemente für linear Führung

## 5. Coudé Rotator Structure

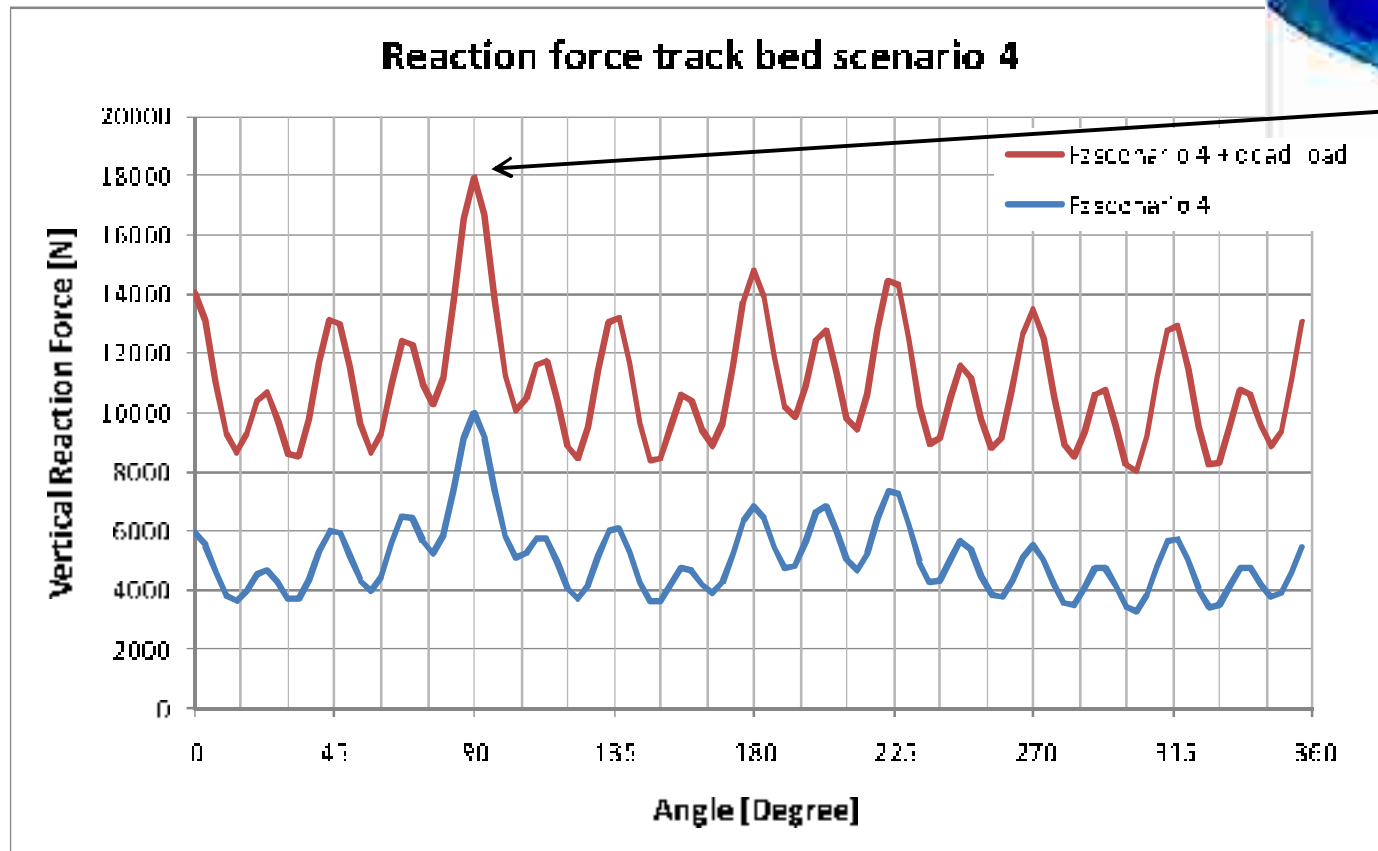
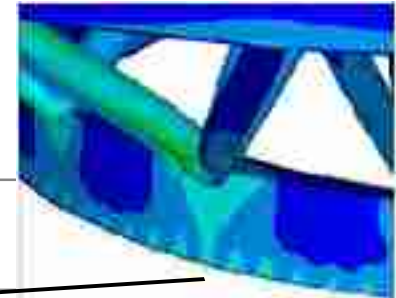
### Entwicklung Struktur und FE-Modell



Spannungen für Lastfall Eigengewicht und Instrumentenlast

## 5. Coudé Rotator Structure

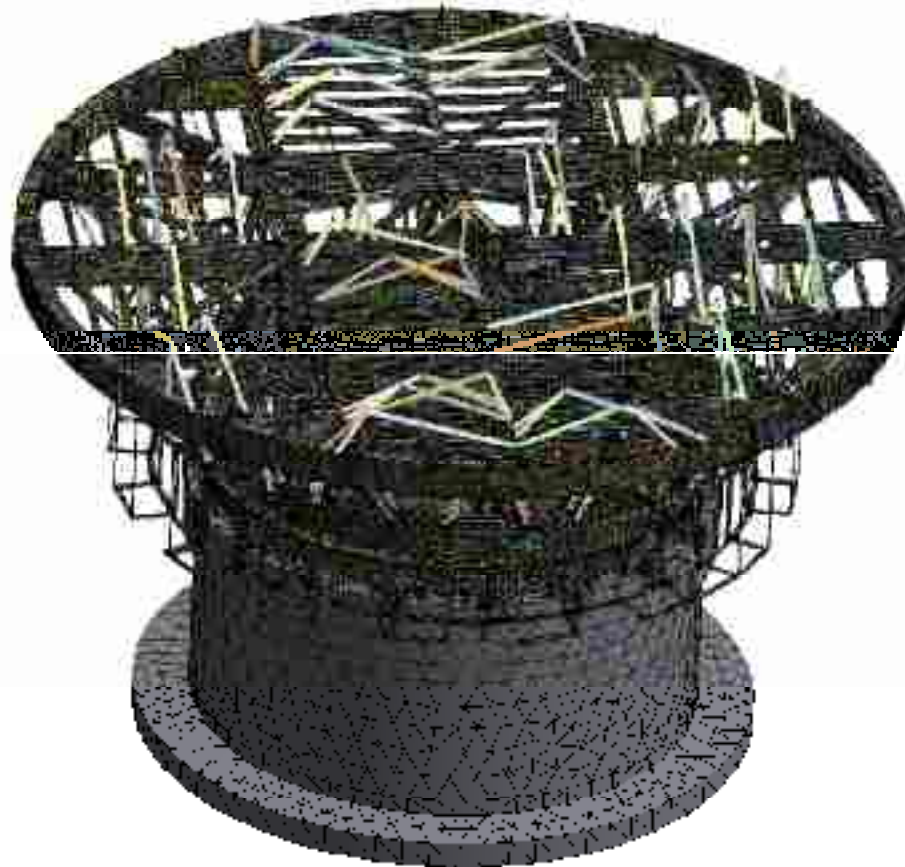
### Entwicklung Struktur und FE-Modell



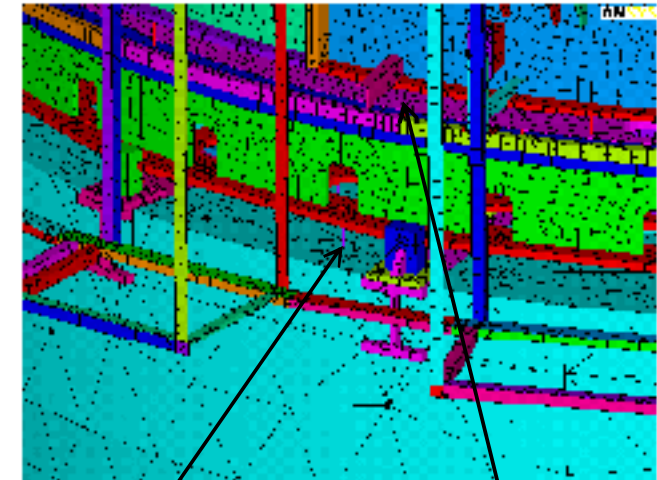
Reaktionskräfte an Linearführungen unter Eigengewicht und Instrumentenlast

## 5. Coudé Rotator Structure

### Entwicklung Struktur und FE-Modell



Gesamtmodell



Fixatoren

Linearführungen

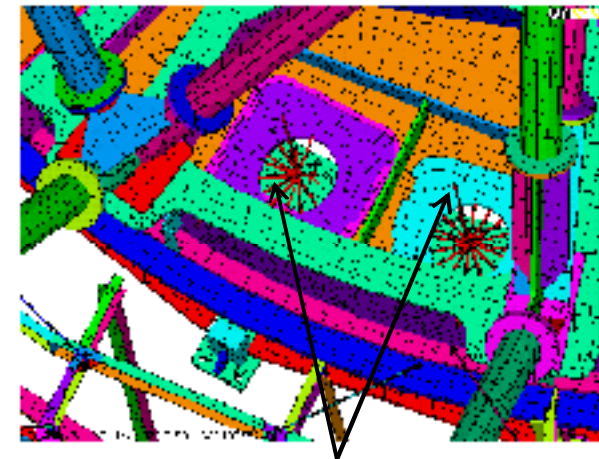
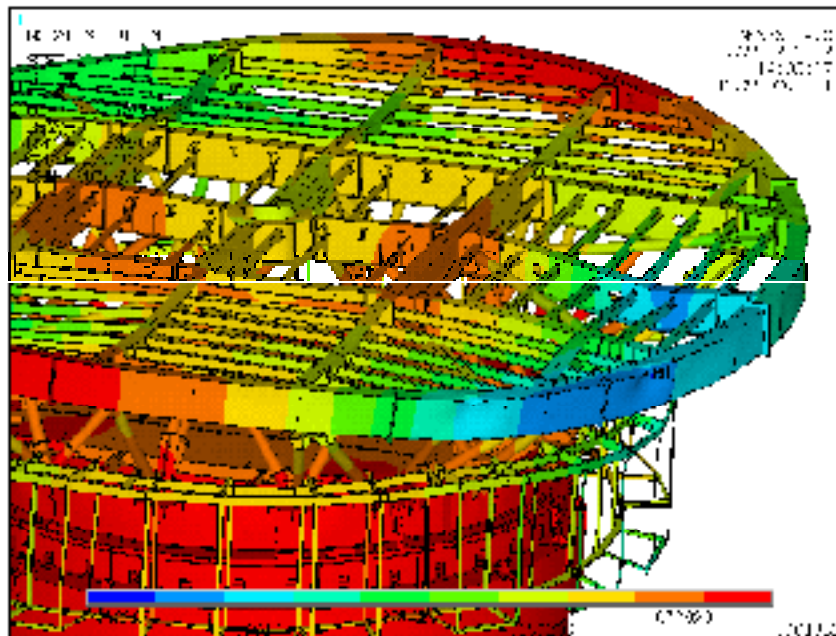


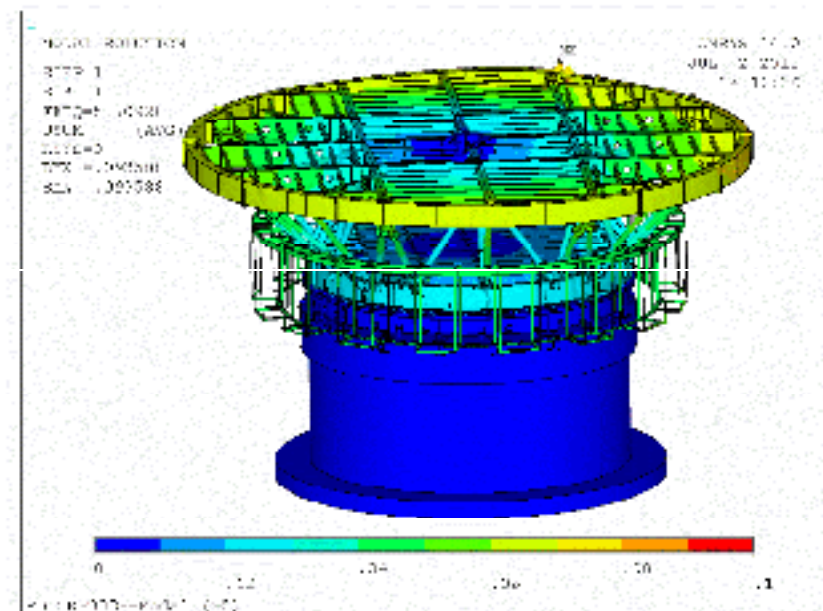
Abbildung Stellmotoren

## 5. Coudé Rotator Structure

### Entwicklung Struktur und FE-Modell

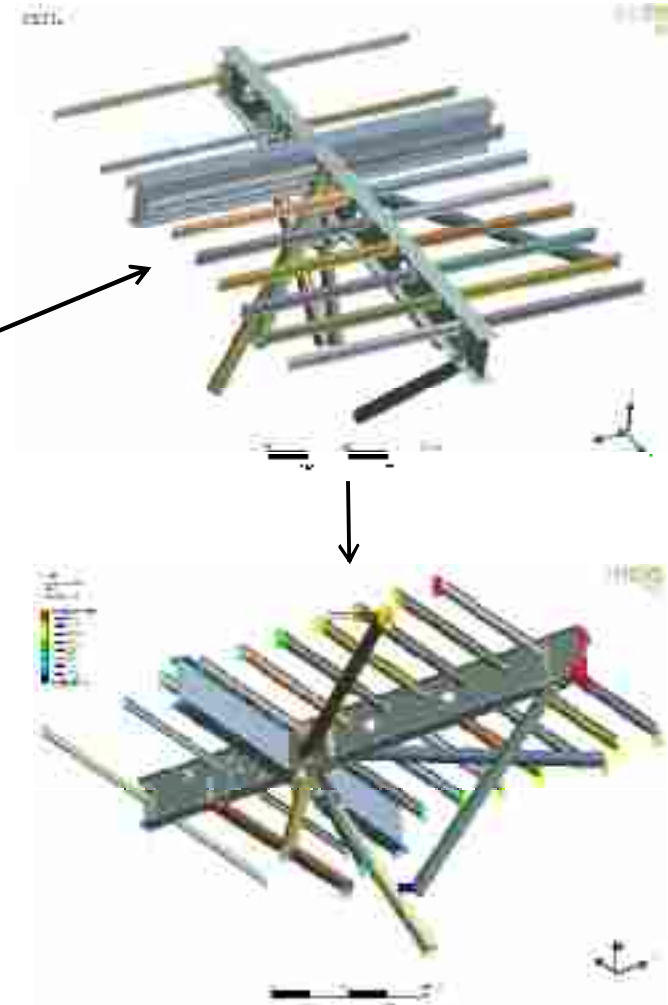
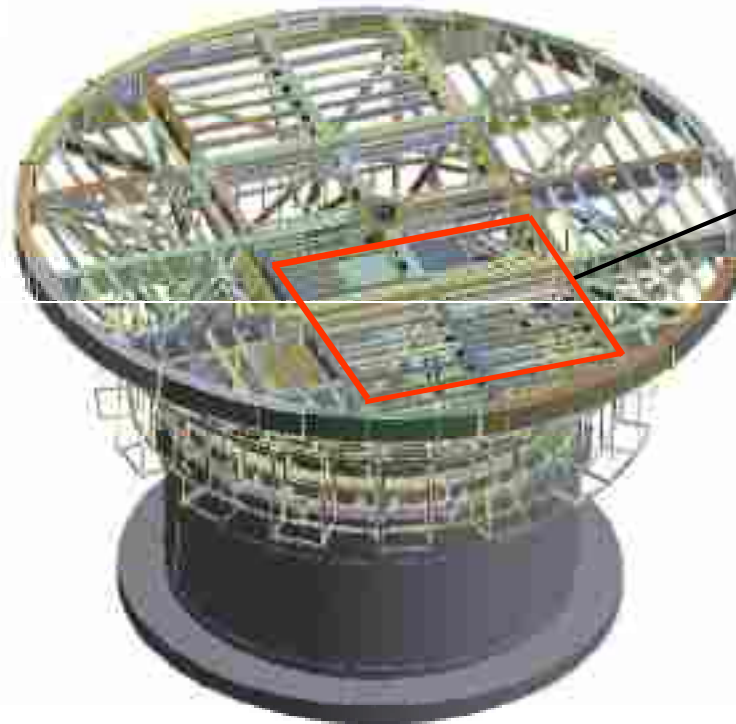


Verformung unter Eigengewicht und Instrumentenlast

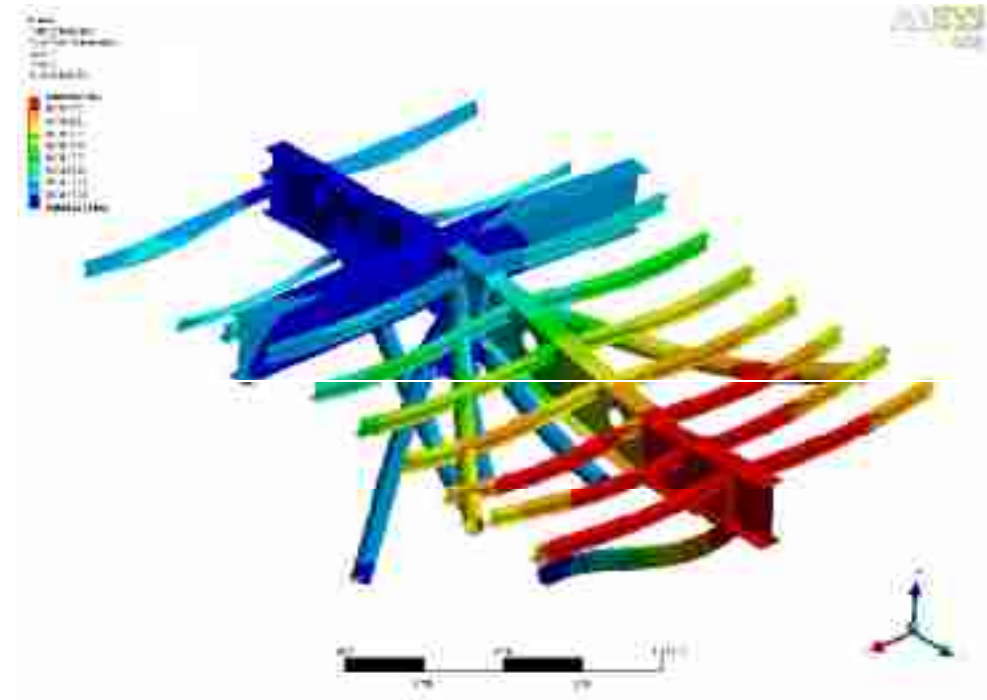
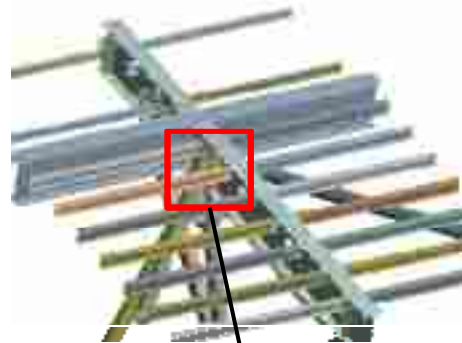


Modalanalyse 1. Eigenform

## 5. Coudé Rotator Structure Submodell

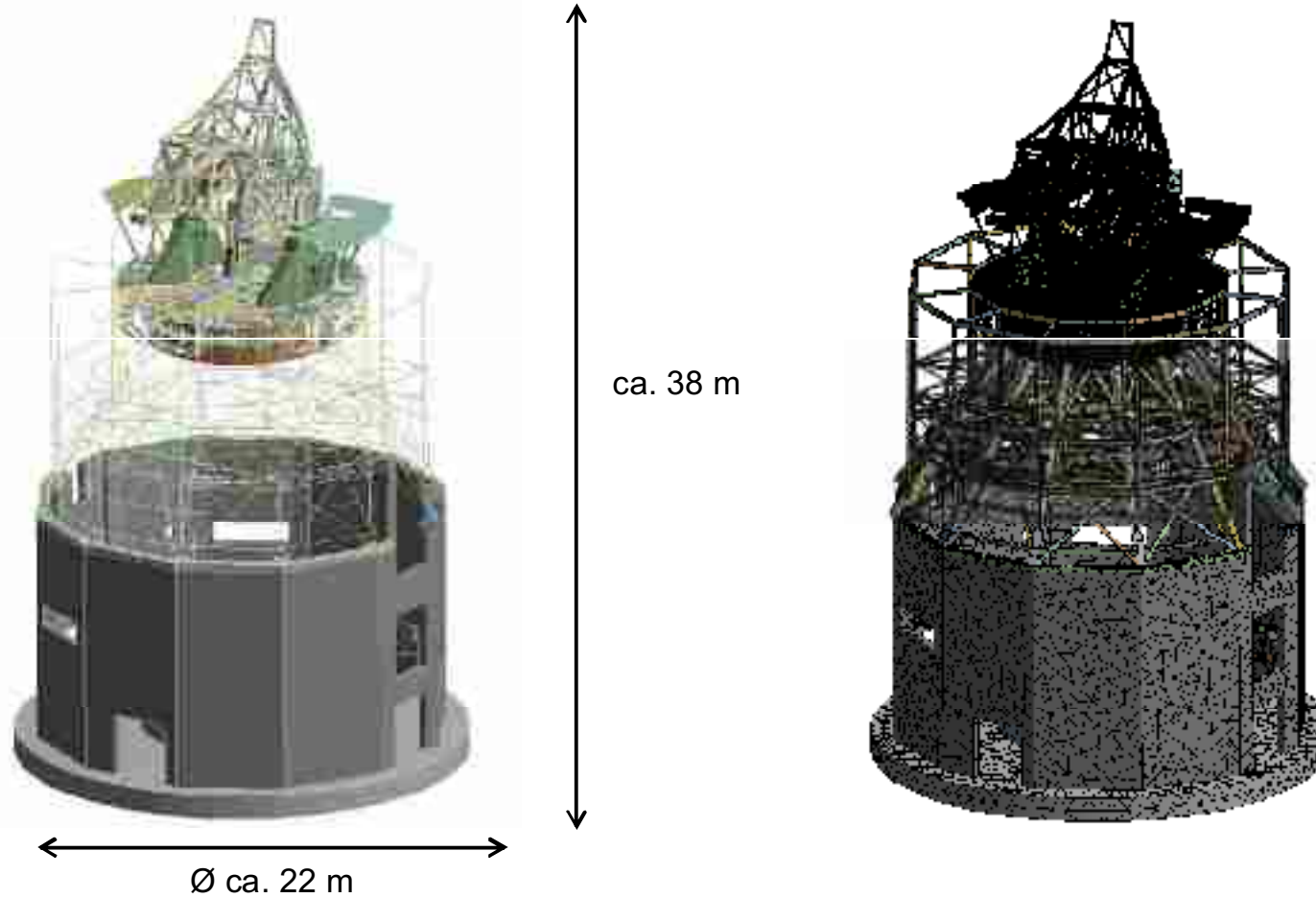


## 5. Coudé Rotator Structure Submodell



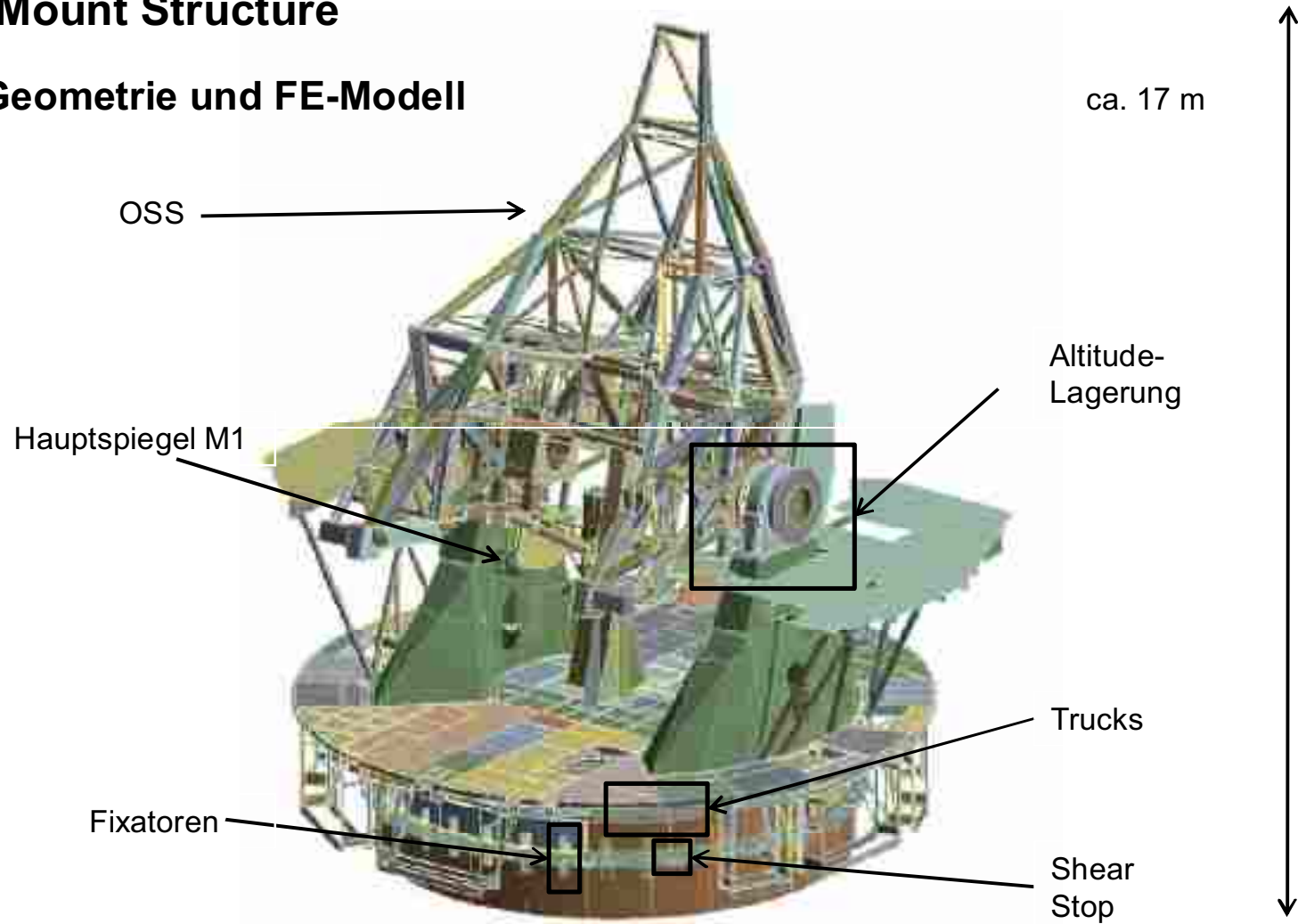
## 6. Mount Structure

### Geometrie und FE-Modell



## 6. Mount Structure

### Geometrie und FE-Modell



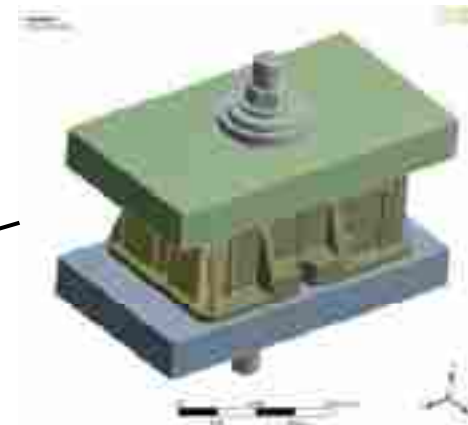
## 6. Mount Structure

### Geometrie und FE-Modell

– Abbildung Fixatoren



Fixator



Detailmodell des Fixators

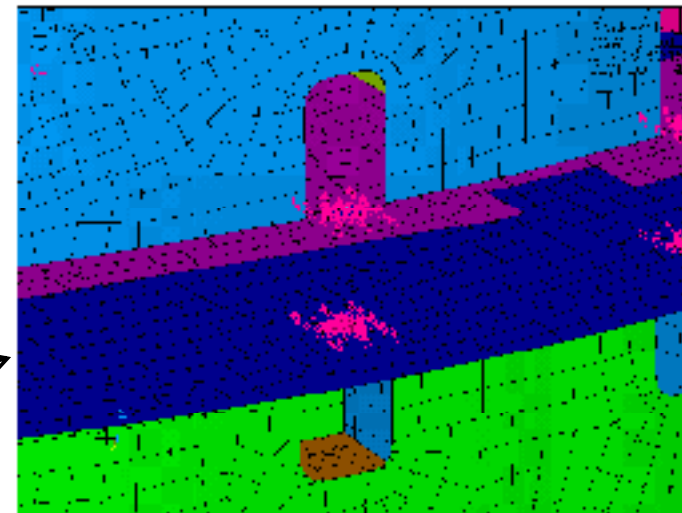
Definition des Matrix-Elementes mit Steifigkeitsmatrix des Fixators aus Detailmodell.

```

et,id,27          ! Matrix27-Element
KEYOPT,id,1,0    ! Input positive or zero definite matrices only
KEYOPT,id,2,0    ! Symmetric matrices
KEYOPT,id,3,4    ! Defines a 12 x 12 stiffness matrix
KEYOPT,id,4,1    ! Print element matrix at beginning of solution phase

R,id,4570455507.373,-507468.3145944,-931561564.1248,-196594.3266108,-258125709.0018,1422350.643678,
RMORE,-4570455507.376,507468.3067797,931561564.1112,73604.36037549,-643200574.993,-1442136.522466,
RMORE,3260863272.44,-20973984.73797,192230411.6809,1334872.493631,-28180697.82886,507468.3121846,
RMORE,-3260863272.428,20973984.7416,450736720.8469,-1245411.525166,28076111.81947,10535726581.38,
RMORE,-6978770.759274,76305372.31053,-979311.6369378,931561564.2301,20973984.74815,-10535726581.3,
RMORE,2861235.562748,107582118.8535,994679.4671608,40055539.72009,290480.2010703,-1197576.62626,
RMORE,196594.3262045,-192230411.682,6978770.759268,-2152364.855112,-249265.5213831,1191094.504295,
RMORE,32434205.29539,-75499.55843984,258125709.0021,-1334872.492845,-76305372.31031,-24215.34446128,
RMORE,18483261.42862,78035.9364621,24581246.13898,-1422350.643639,28180697.82918,979311.637067,
RMORE,-4345533.969457,-203453.5325272,-24570293.96272,4570455507.38,-507468.3061309,-931561564.2134,
    
```

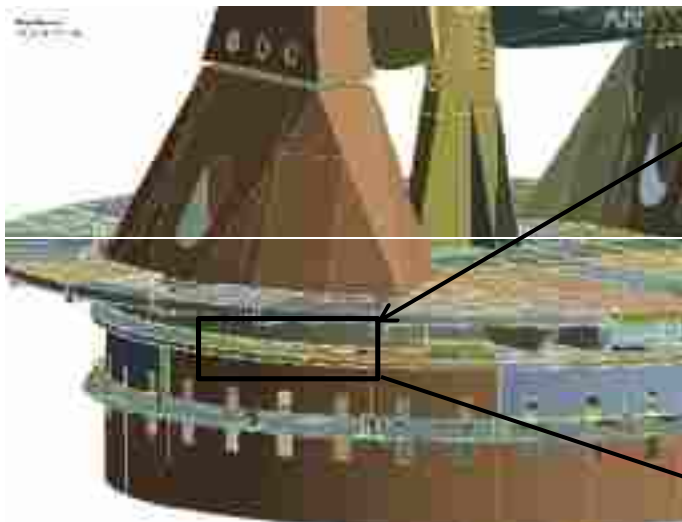
Umsetzung im FE-Modell, CE's zur Lastverteilung



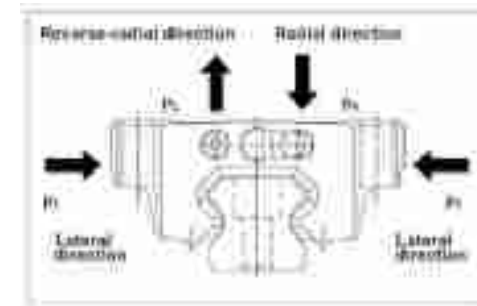
## 6. Mount Structure

### Geometrie und FE-Modell

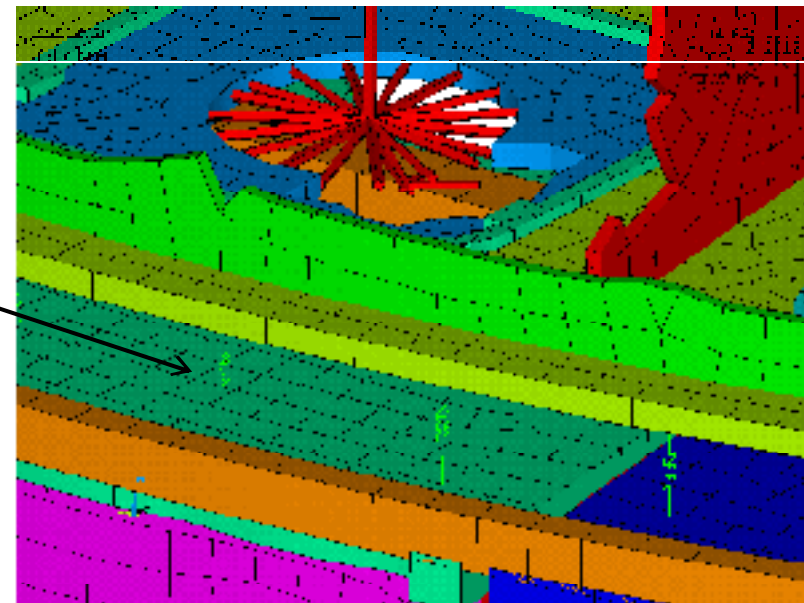
– Abbildung Trucks



Trucks als Azimuth-Lagerung



Umsetzung im FE-Modell mittels radial und vertikal wirkender Federn mit den Federsteifigkeiten der Trucks.

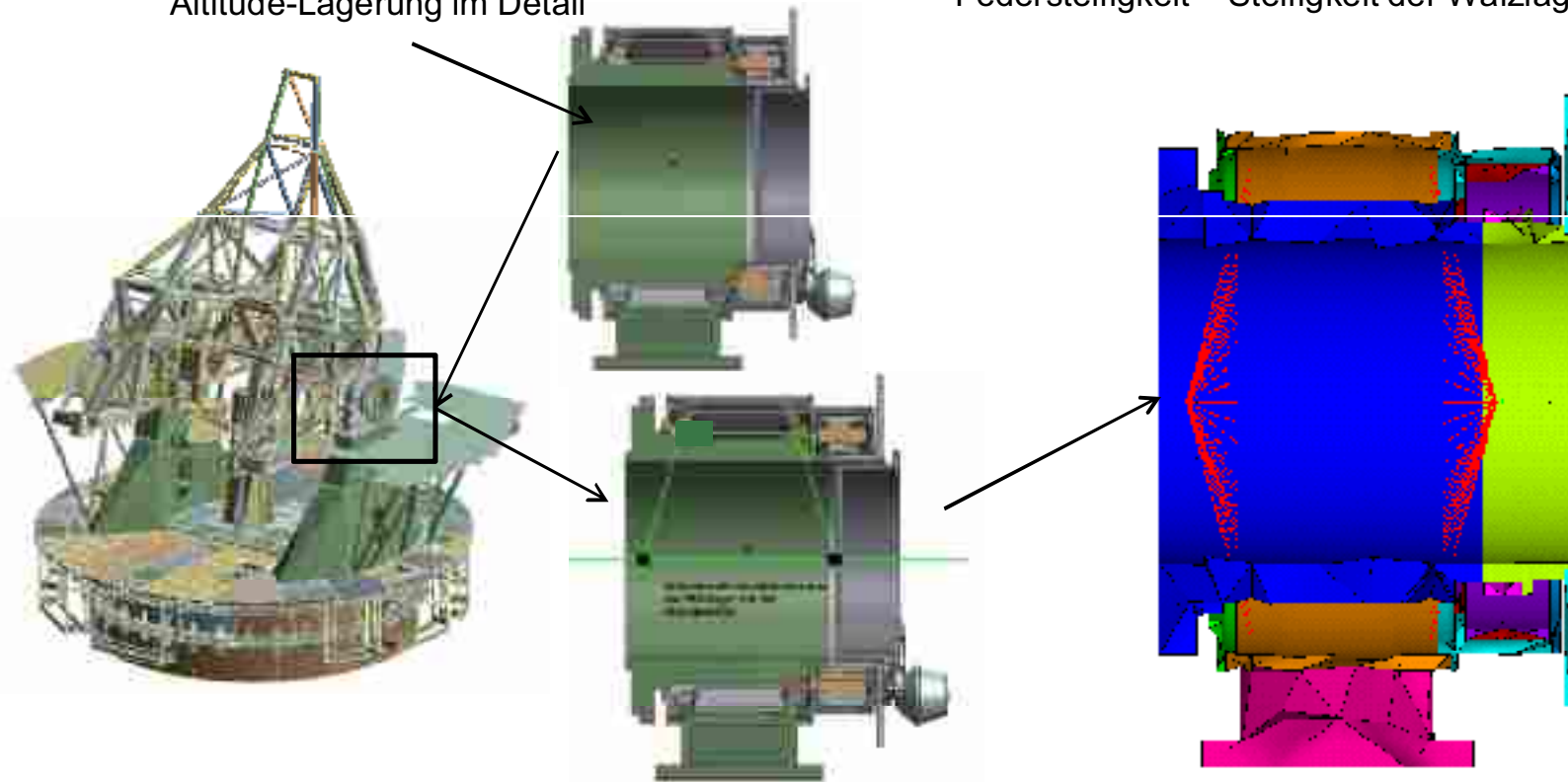


## 6. Mount Structure

### Geometrie und FE-Modell

– Abbildung Altitude-Lagerung

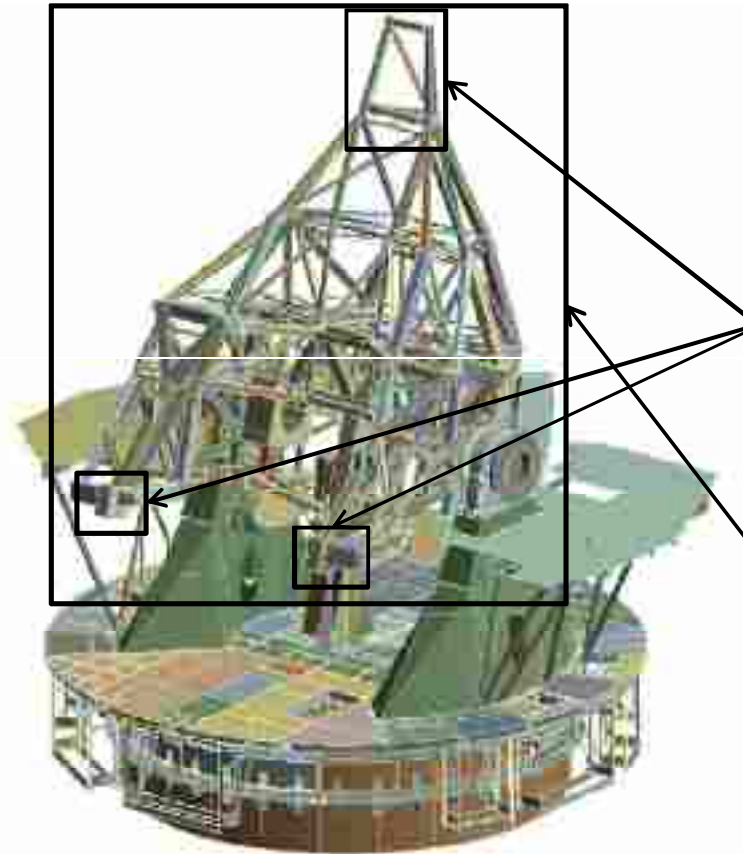
Altitude-Lagerung im Detail



Umsetzung im FE-Modell mittels Balkensterne. Mittelpunkte der Balkensterne mit Federn verbunden; Federsteifigkeit = Steifigkeit der Wälzlager.

## 6. Mount Structure

### Gewichtsoptimierung OSS



Ziel: Reduktion der Masse bei gleichzeitiger Verringerung der Verformungen und Erhöhung der ersten Eigenfrequenz.

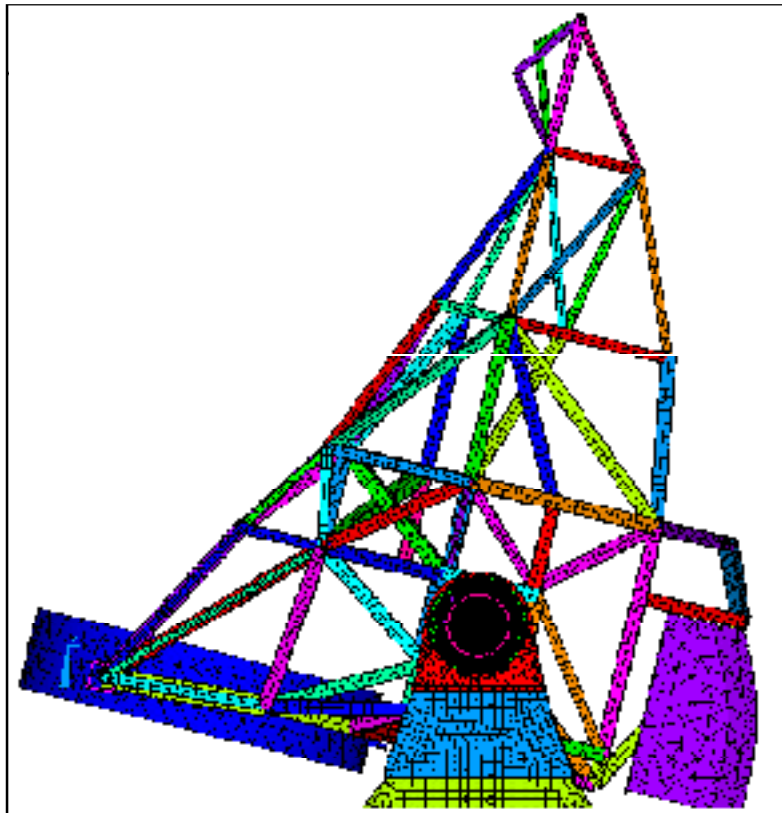
Restriktionen:

- niedrigste zulässige Eigenfrequenz
- maximal zulässige Verformungen

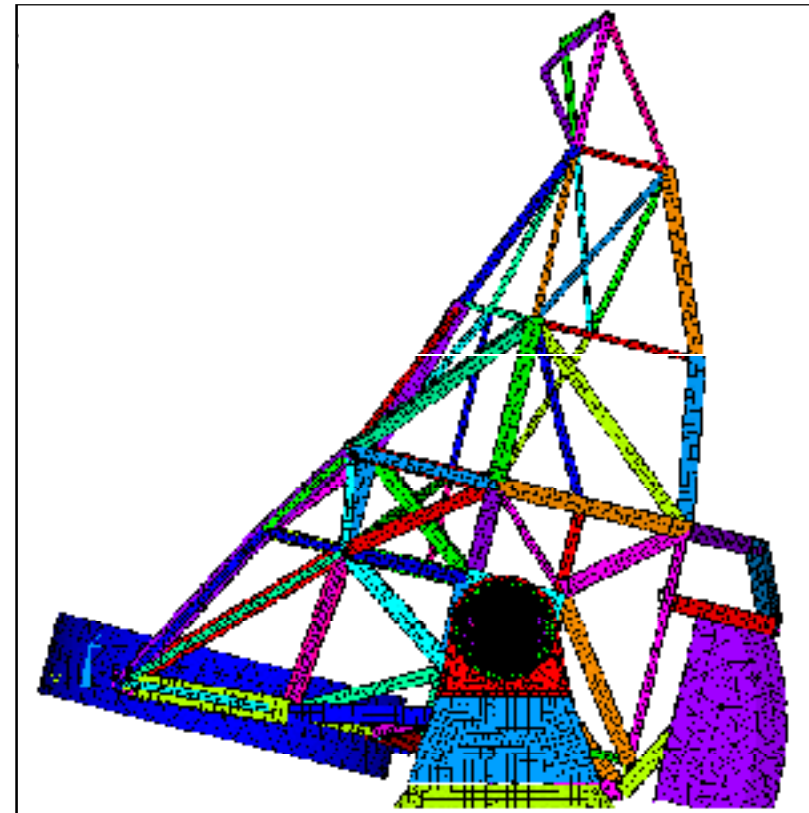
Zu optimierende Struktur mit dem Verfahren der Parameteroptimierung.

## 6. Mount Structure

### Gewichtsoptimierung OSS

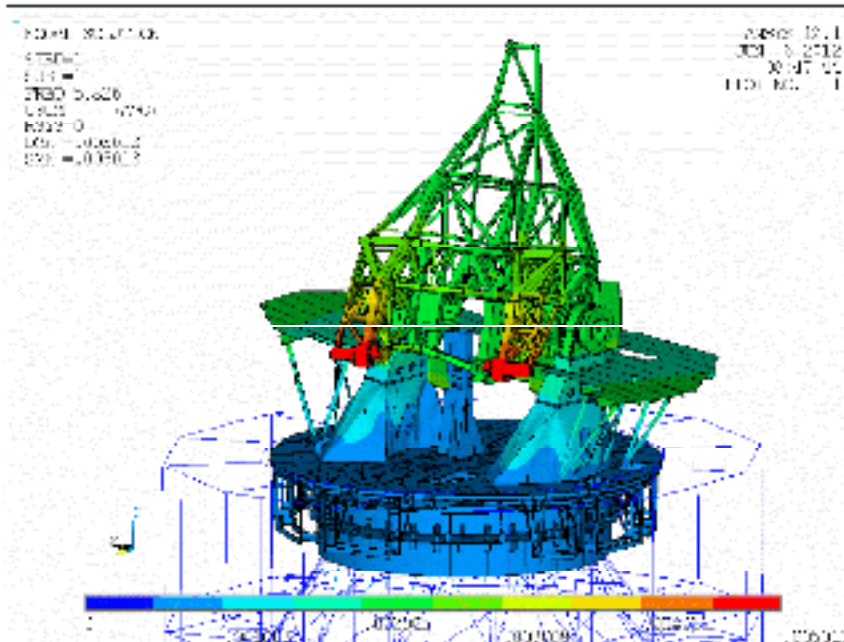


Profilquerschnitte der OSS vor der Optimierung

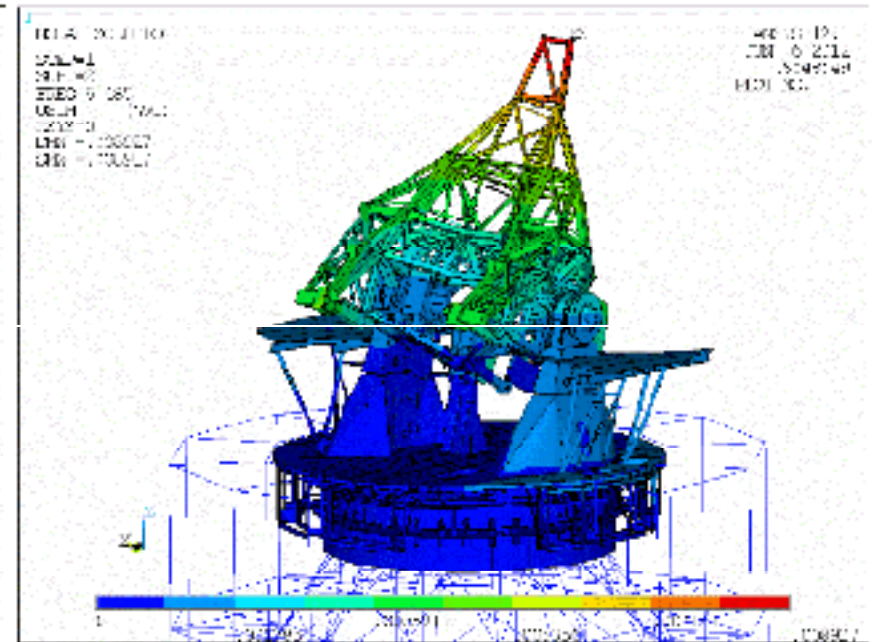


Profilquerschnitte der OSS nach der Optimierung

## 6. Mount Structure Modalanalyse



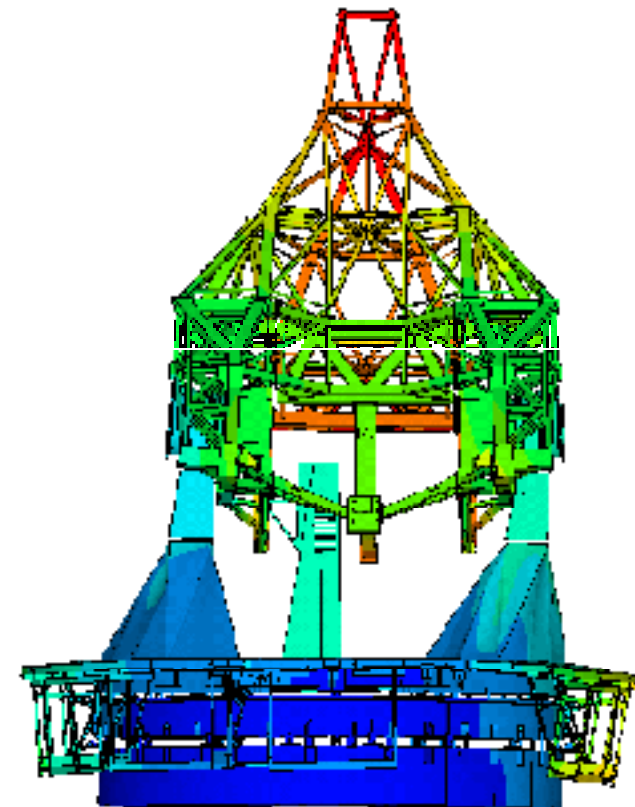
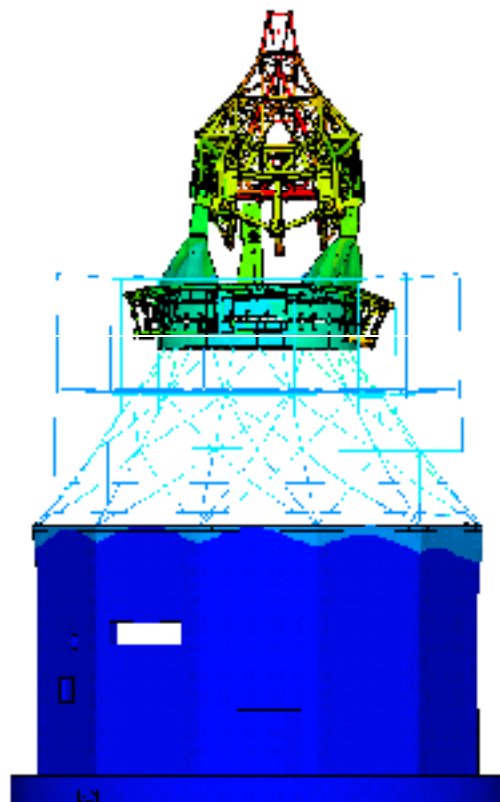
Querschwingung



Nicken um Altitude-Achse

## 6. Mount Structure

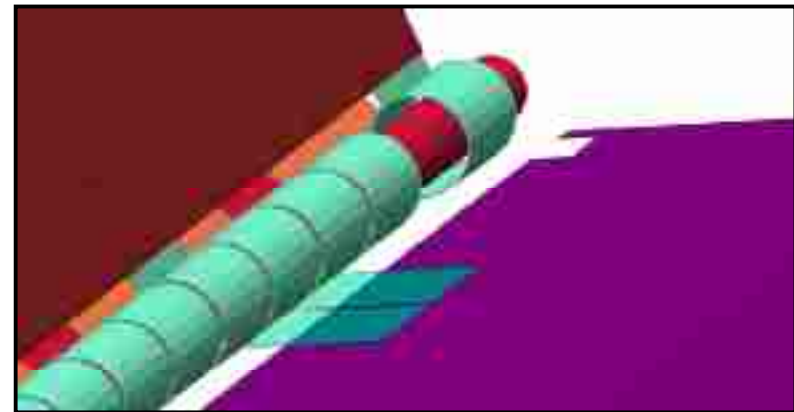
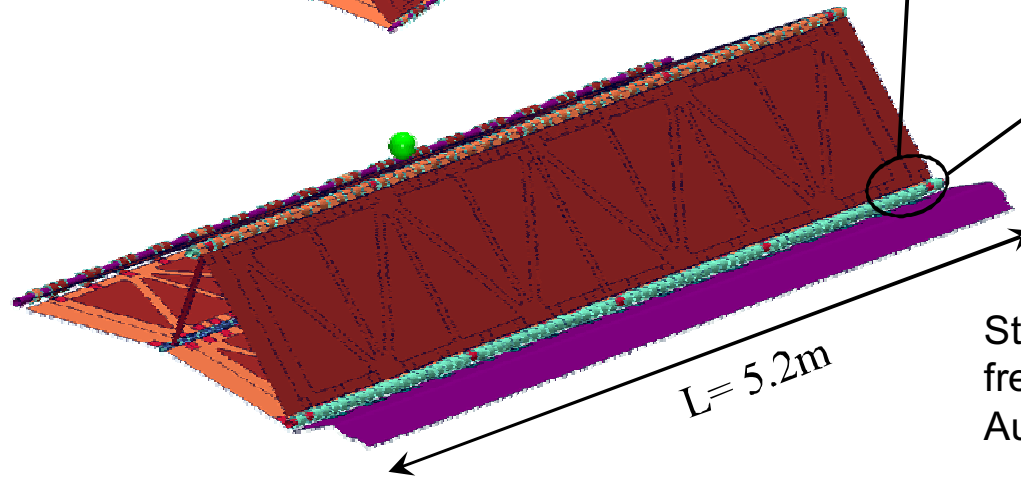
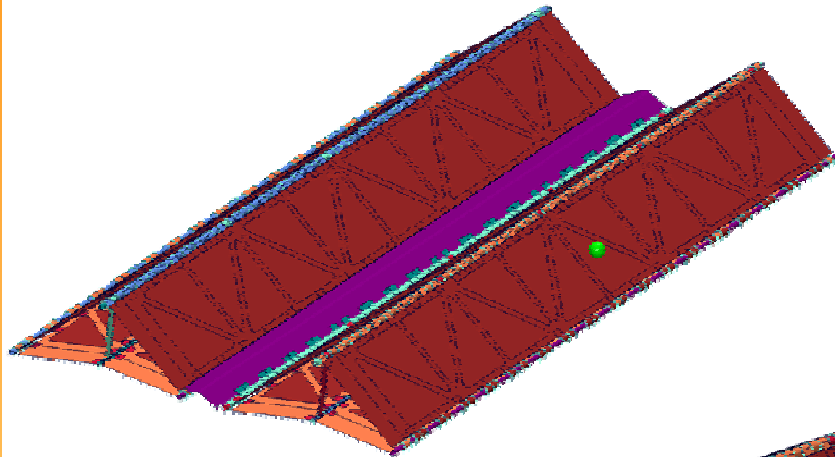
### Statische Analyse



Verformungen unter Eigengewicht

## 7. Mirror Cover

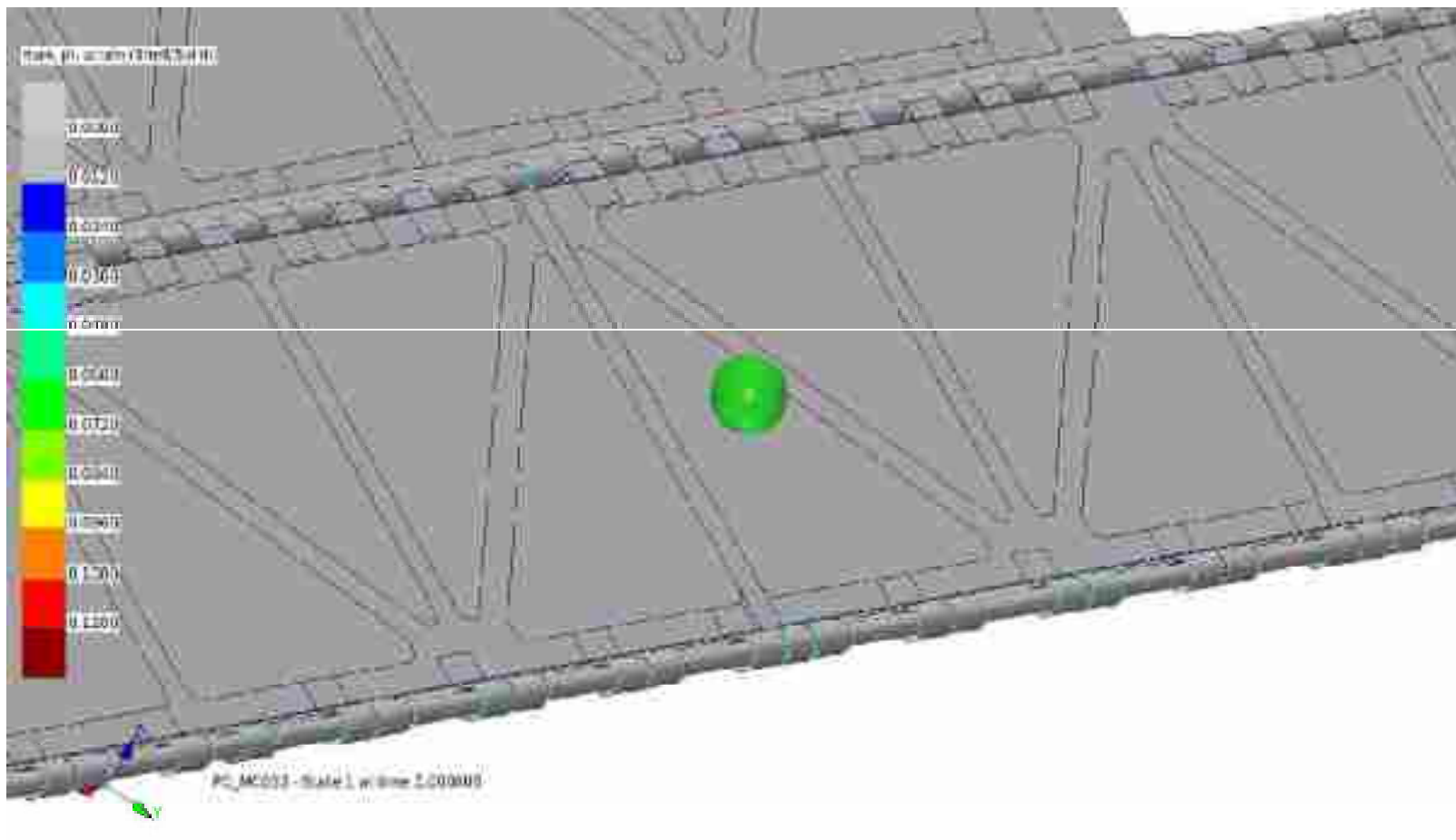
### Mirror Cover Falltest Werkzeug



Starre Kugel mit Masse 2.5kg  
freier Fall aus 15m Höhe  
Aufprallgeschwindigkeit ca. 62 km/h

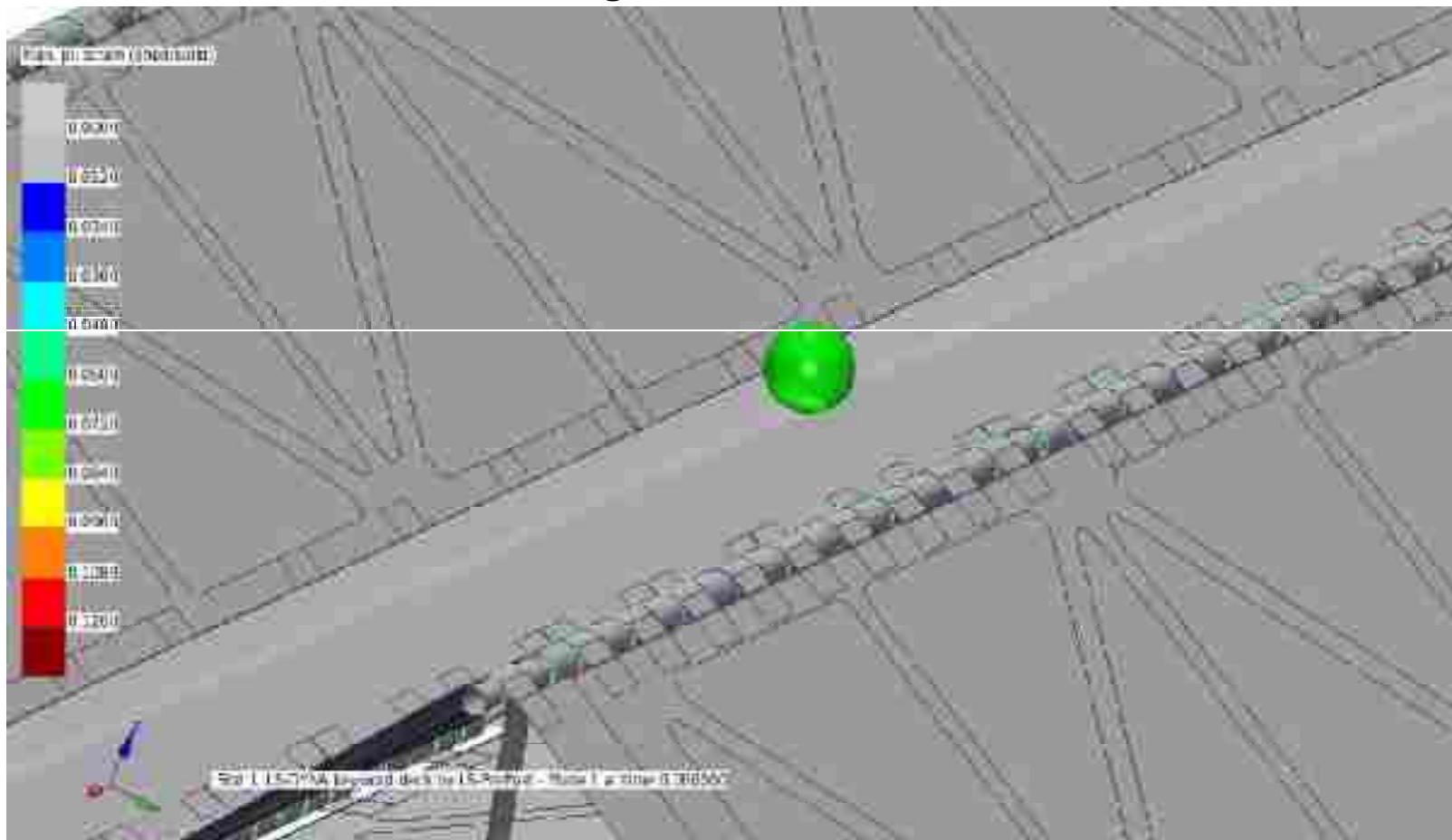
## 7. Mirror Cover

### Mirror Cover Falltest Werkzeug



## 7. Mirror Cover

### Mirror Cover Falltest Werkzeug



## 7. Zusammenfassung

- Aus den Simulationsergebnissen wurden zahlreiche konstruktive Maßnahmen zur Verbesserung des Strukturverhaltens abgeleitet werden
- Die Eigenschaften vom ersten Entwurf bis zum Abschluss der Preliminary Design Phase konnten deutlich verbessert werden
- Zurzeit befindet sich die Entwicklung am Ende der Final Design Phase



*Renders courtesy of Tom Kekona,  
K.C. Environmental, Inc., National Solar Observatory*